



IMARPE
INSTITUTO DEL MAR DEL PERÚ

SIOFEN SERVICIO DE INFORMACIÓN OCEANOGRÁFICA
DEL FENÓMENO EL NIÑO

Boletín Semanal Oceanográfico y Biológico-Pesquero

Año 11, N° 08

Semana 08: 16 - 22 de febrero de 2026

RESUMEN

» En la región Niño 1+2, la anomalía de la temperatura superficial del mar (TSM) continuó incrementándose hasta +1,19 °C, mientras que en la región Niño 3.4 ascendió a -0,16 °C. La presión a nivel del mar exhibió anomalías negativas frente a la costa peruana, mientras que el Anticiclón del Pacífico Sur (APS), estuvo desplazado al sureste de su posición habitual, permitiendo la presencia de vientos fuertes del sureste y una ligera disminución de la cobertura de las anomalías térmicas de +1 °C en el sector oceánico sur (Figura 2 y 3). El calentamiento frente a la costa norte del Perú se asoció al desplazamiento hacia el sur de la isoterma de 25 °C y de las Aguas Tropicales Superficiales (ATS), con límite frente a Punta Falsa, determinando anomalías positivas de hasta +3 °C (Paíta) y un incremento de la TSM de hasta 1,6 °C, respecto a la semana anterior (Figura 1, 4 y 5b). Estas condiciones fueron favorecidas por vientos con anomalías negativas del noroeste y del norte frente a la costa norte, lo cual favoreció la ampliación de la cobertura de la ola de calor marina (OCM) dentro de las 150 mn, alcanzando cerca de 90,000 km² (Figura 3, 6c y 7). Asimismo, destacó la disipación del enfriamiento frente a la costa centro y sur, permitiendo la normalización de la TSM entre Chicama y San Juan, el incremento de las condiciones cálidas por fuera de este sector y la presencia de aguas de baja salinidad ($S < 34.8$) debido a la contribución de descargas fluviales (Figuras 4, 6d y 12b).

» A nivel superficial y dentro de las 20 mn desde Callao hacia Puerto Pizarro, se evidenció la transición de condiciones frías a cálidas al cruzar Chimbote; estas últimas se intensificaron frente a Talara, debido a la intromisión de las Aguas Ecuatoriales Superficiales (AES) y las ATS, al norte de Chicama y Paíta, respectivamente (Figura 8). El calentamiento superficial al norte de Talara sobrepasó las 60 mn con anomalías entre +2 y +5 °C, evidenciándose una disminución importante de la salinidad en sectores muy costeros a causa de la descarga de ríos. No obstante, el calentamiento se presenta de forma muy somera (~20 m), como se observa dentro de las 60 mn frente a Puerto Pizarro, donde aún prevalece una columna fría de hasta -2 °C sobre los 150 m (Figura 9 y 10). Los perfiladores ARGO ubicados cerca de Punta Falsa y San José, confirmaron la influencia superficial de las ATS y AES, respectivamente, tendiendo a declinar en los últimos días, acorde con la disminución de la anomalía del nivel del mar frente a la costa norte, posiblemente explicada por la finalización del paso de la onda Kelvin cálida en esta zona (Figura 11 y 6b).

» En la región sur, la disponibilidad del recurso anchoveta *Engraulis ringens* se concentró entre Mollendo y Morro Sama dentro de las 10 mn y con predominio de juveniles (Figura 12a).

PRONÓSTICO

» De acuerdo con el modelo MERCATOR, en la región Niño 1+2 y hasta el 04 de marzo se espera que las anomalías positivas de TSM continúen con valores de hasta +1,4 °C (Figura 13).

» Del 24 de febrero al 01 de marzo del 2026, se prevé que la Velocidad del Viento (VV) varíe entre rangos débil/moderado y moderado/fuerte en el sector oceánico frente a la mayor parte de la costa entre Paíta y San Juan. Durante los días 24 y 25, en el sector oceánico y la franja costera predominarían anomalías negativas de VV y del noroeste. Posteriormente, entre el 26 y el 01, se espera el incremento de anomalías positivas de VV desde la franja costera hacia el sector oceánico central, mientras que, en el sector oceánico persistirían anomalías negativas y del noroeste (Figura 14).

» Las observaciones y los modelos indican el arribo a la costa sudamericana de una onda Kelvin cálida (modo 1) en marzo y otra de modo 2 en abril/mayo, aunque con una intensidad ligeramente debilitada (Figuras 6a y 15).



PERÚ

Ministerio
de la Producción



PREMIO 2018
BUENAS PRÁCTICAS
EN GESTIÓN PÚBLICA

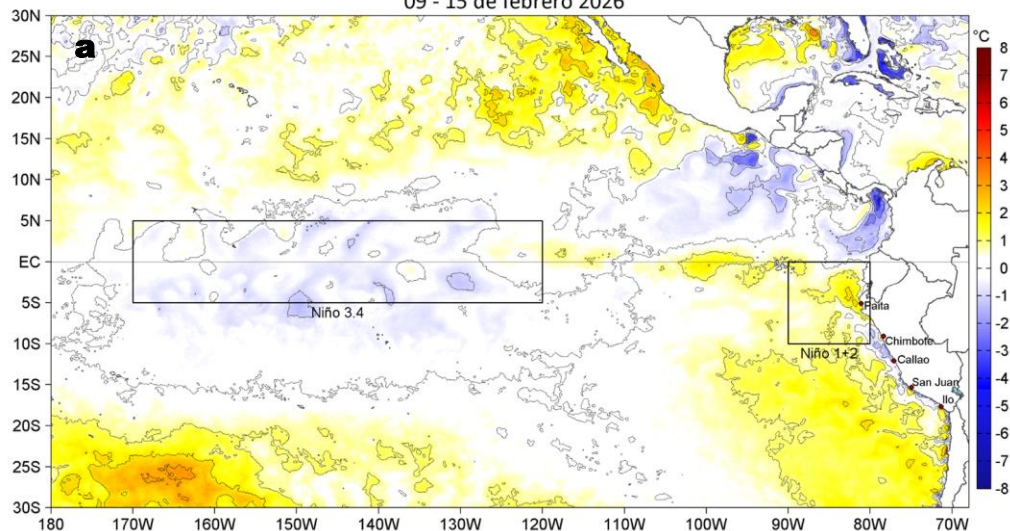


DGIOCC
Dirección General de Investigaciones
en Oceanografía y Cambio Climático

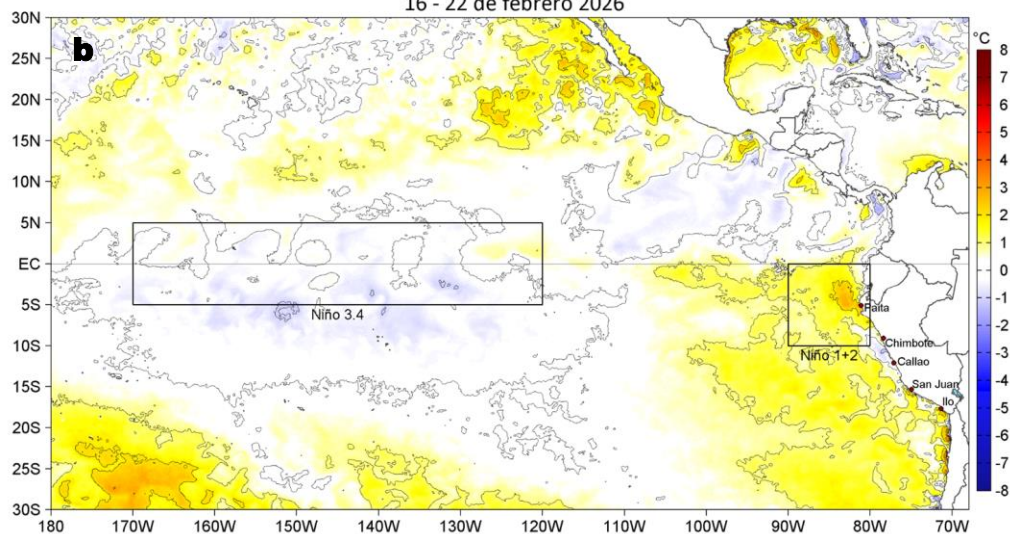


DGIRP
Dirección General de Investigaciones
de Recursos Pelágicos

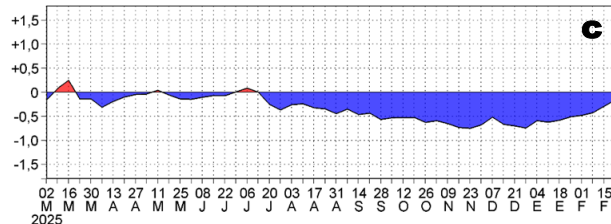
Anomalías de la Temperatura Superficial del Mar (°C)
09 - 15 de febrero 2026



Anomalías de la Temperatura Superficial del Mar (°C)
16 - 22 de febrero 2026



ATSM REGION NIÑO 3.4



ATSM REGION NIÑO 1+2

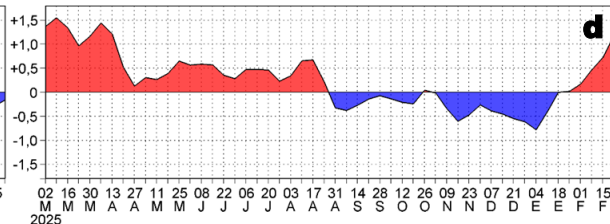


Figura 1. Anomalías promedio de la temperatura superficial del mar (TSM, °C) en el océano Pacífico tropical del 09 al 15 de febrero (a) y del 16 al 22 de febrero (b) del 2026, así como la variación del promedio semanal durante el último año para la región Niño 3.4 (c) y la región Niño 1+2 (d). Las regiones Niño 3.4 y Niño 1+2 en los sectores central y oriental del océano, respectivamente, están delimitadas con una línea de color gris. Datos: OSTIA-UKMO-L4-GLOB-v2.0 (UK Met Office, 2012; Donlon et al, 2012). Climatología: 1991-2020.

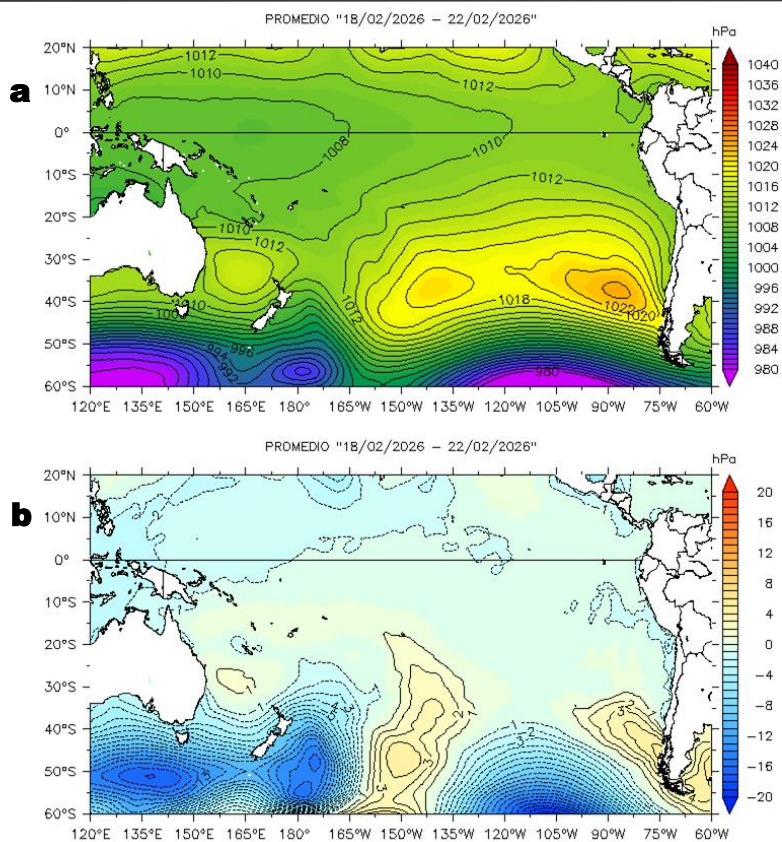


Figura 2. Distribución espacial promedio de la: a) Presión atmosférica (hPa) y b) anomalías de la Presión atmosférica (hPa) en el Pacífico Tropical del 18 al 22 de febrero del 2026.

Fuente de los datos: NCEP/NOAA. Climatología: 1991-2020.

El Anticiclón del Pacífico Sur (APS) se encontró al oeste de su posición habitual (90°W-35°S), con un valor de 1025 hPa en su núcleo.

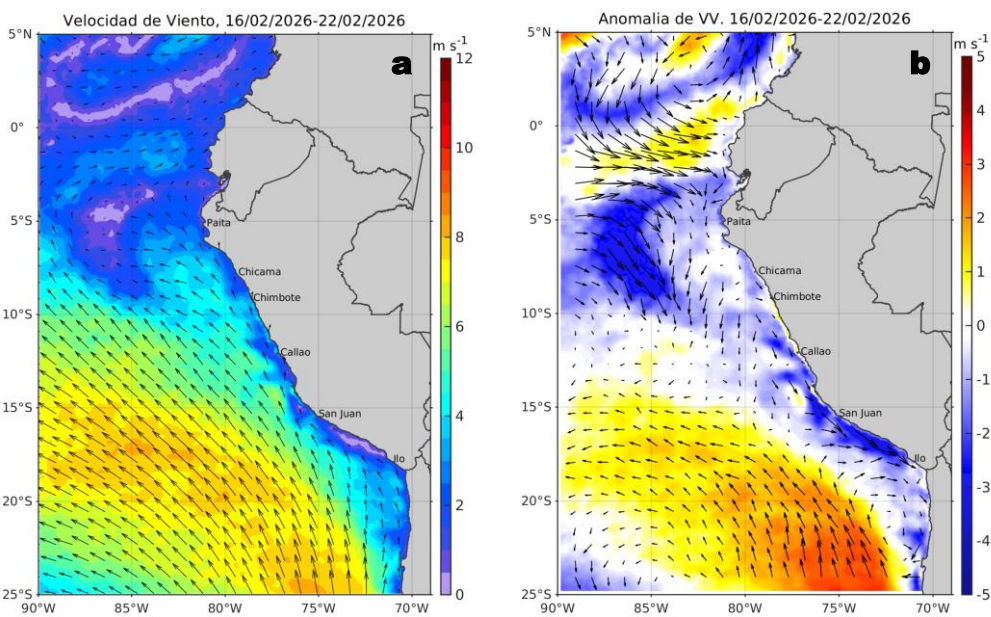


Figura 3. Distribución espacial promedio de: a) la velocidad (m/s) y dirección del viento (°) y b) anomalías de la velocidad (m/s) y dirección del viento (°) frente a la costa peruana del 16 al 22 de febrero del 2026. La velocidad del viento y su anomalía se presentan en matices de colores a la derecha. La dirección del viento y su anomalía se presentan con flechas. Fuente de los datos: CMEMS. Climatología: 2000-2020.

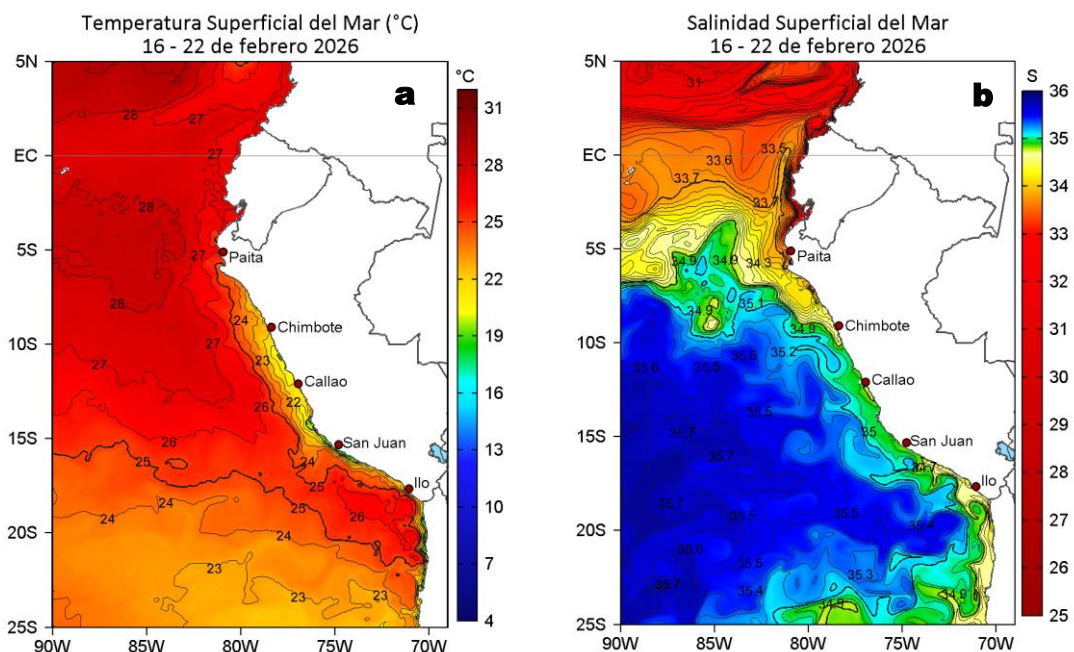


Figura 4. Distribución espacial promedio de la: a) Temperatura superficial del Mar (TSM, °C) y b) Salinidad superficial del mar (SSM) del 16 al 22 de febrero del 2026. Datos: OSTIA-UKMO-L4-GLOB-v2.0 (UK Met Office, 2012; Donlon et al, 2012) para (a) y del GLOBAL_ANALYSISFORECAST_PHY_001_024 (Lellouche, J. M. et al, 2013) para (b).

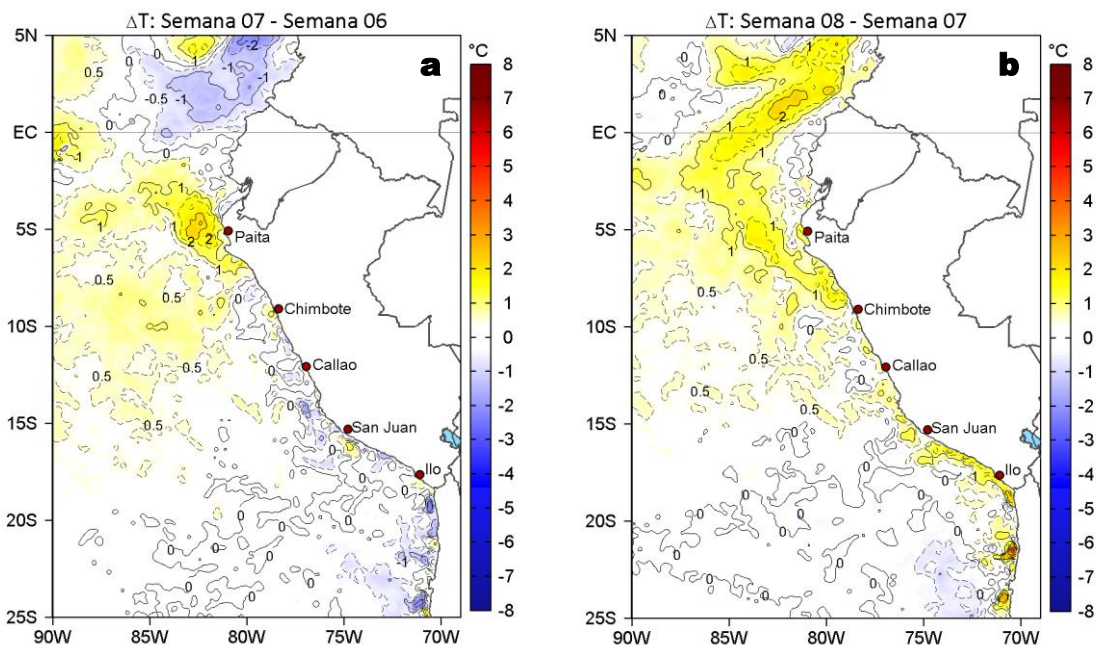


Figura 5. Variación semanal de la TSM (°C) en el océano Pacífico tropical oriental entre: a) séptima (09 - 15 de febrero) y sexta (02 - 08 de febrero) semana de 2026 y b) octava (16 - 22 de febrero) y séptima (09 - 15 de febrero) semana de 2026. Los mapas, que indican el grado de calentamiento o enfriamiento de una semana a otra, provienen de OSTIA-UKMO-L4-GLOB-v2.0 (UK Met Office, 2012; Donlon et al, 2012).

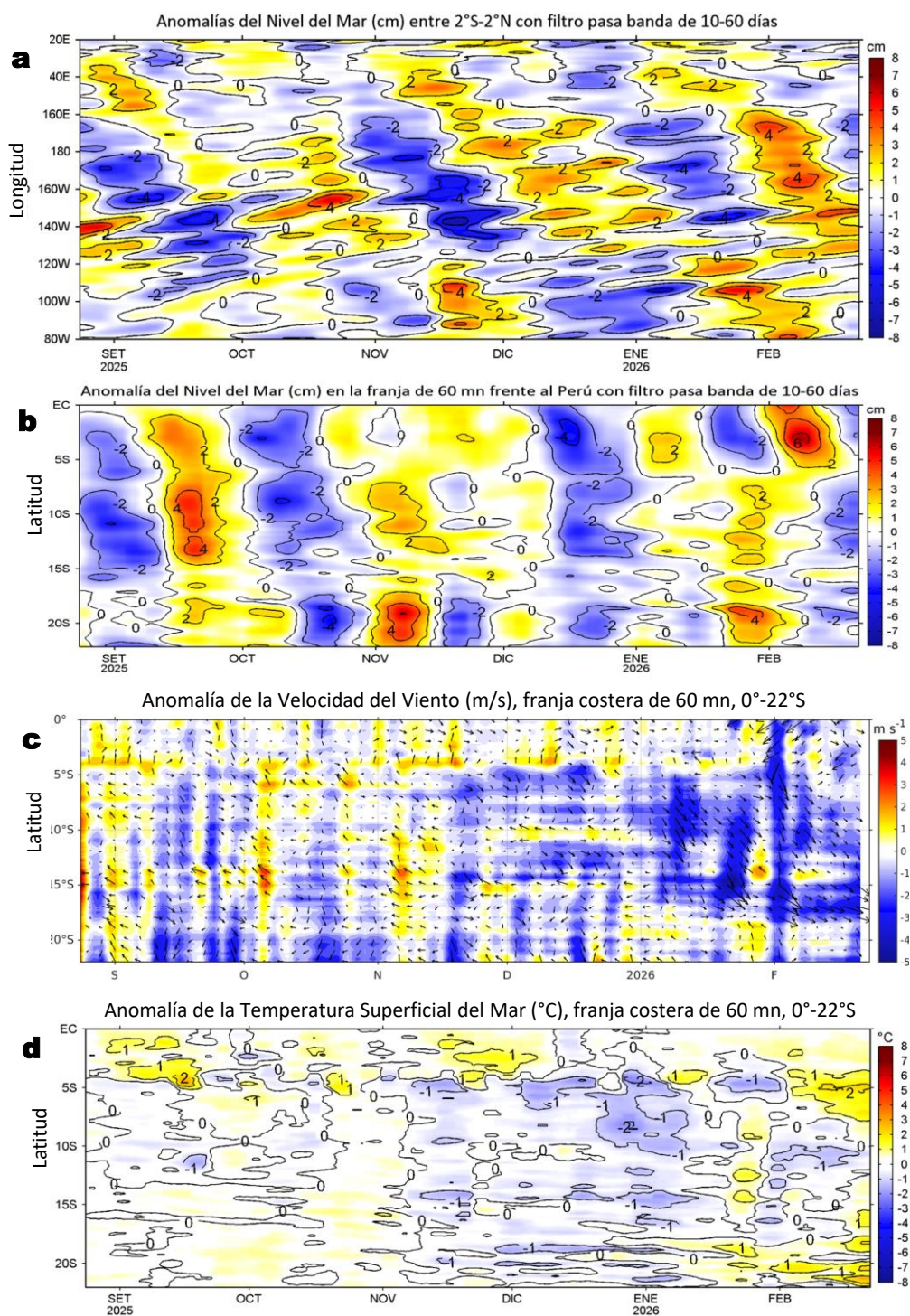


Figura 6. Evolución diaria de a) las anomalías del nivel del mar (cm) con filtro pasa banda de 10-60 días para la franja de 2°S-2°N en el Pacífico ecuatorial y b) la franja de 60 mn adyacente a la costa entre el ecuador geográfico y 22°S, así como para las anomalías de la c) velocidad del viento (m/s) y d) temperatura superficial del mar (°C); actualizadas al 22 de febrero del 2026. Datos: CMEMS (a, b y c) y OSTIA-UKMO-L4-GLOB-v2.0 para (d). Climatología: 1993-2020 (a y b), 2000-2020 (c) y 1991-2020 (d).

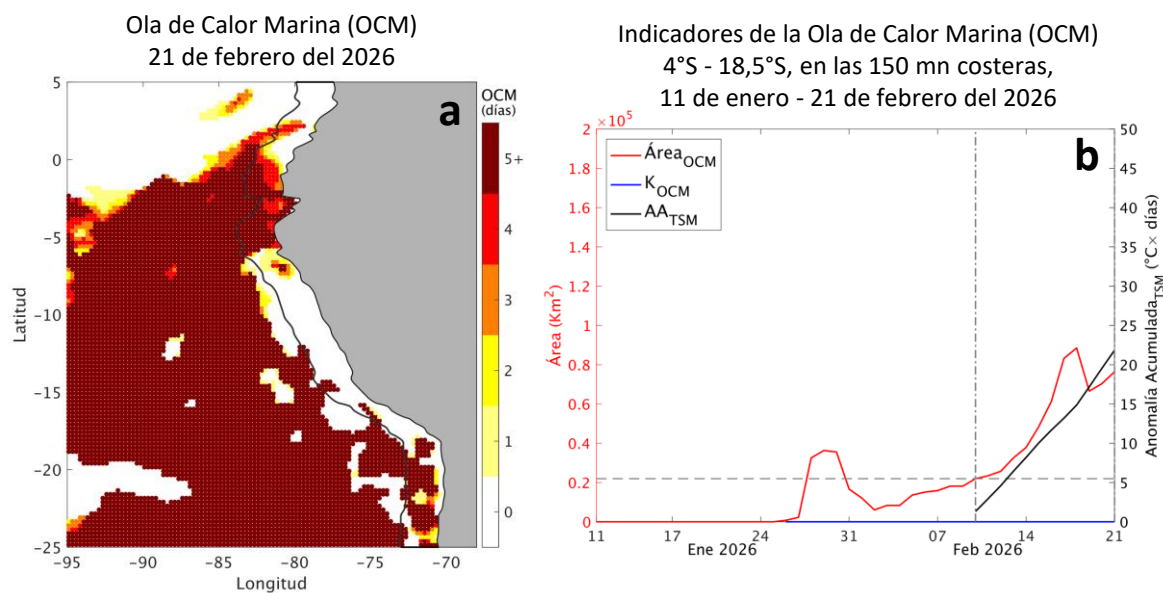


Figura 7. a) Distribución espacial de la cobertura de la ola de calor marina (OCM, Hobday et al., 2016) entre los 5°N y 25°S, y 70° W y 95°W para el 21 de febrero del 2026; la línea paralela a la costa demarca la distancia de 150 mn y la escala de color indica el número de días en los cuales la TSM supera el percentil 90 de los datos diarios históricos, usando el período 1982-2011 como referencia (Pietri et al., 2021). b) Series de tiempo de los indicadores de OCM para la zona entre los 4°S y 18,5°S dentro de las 150 mn costeras: área en condición de OCM (Área_{OCM} , $\times 10^4 \text{ Km}^2$; rojo); área en condición de OCM donde la $\text{ATSM} > +4 \text{ }^\circ\text{C}$ (K_{OCM} , Km^2 ; azul); y anomalía térmica acumulada en el área (AATSM, $^\circ\text{C} \times \text{días}$; negro). Al 21 de febrero, la condición de OCM presenta una anomalía acumulada de 21,84 $^\circ\text{C} \times \text{días}$. Fuente: OISST 2.1.

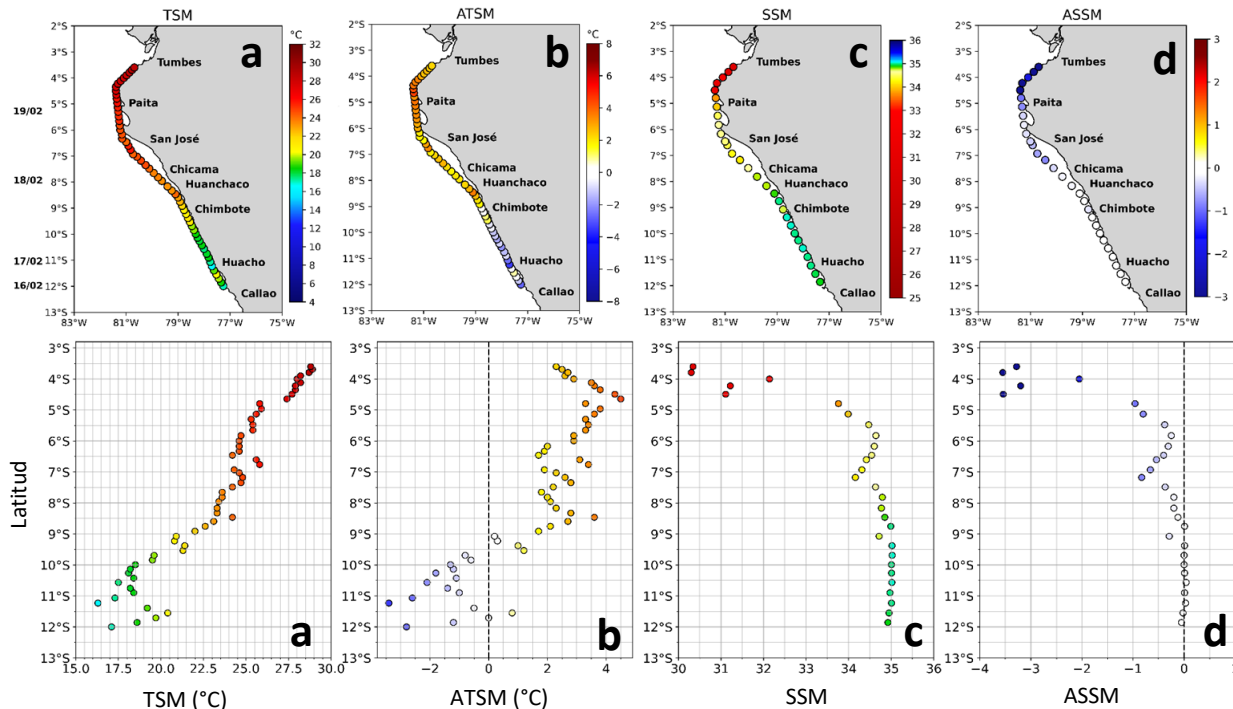


Figura 8. Variación superficial de la: a) Temperatura ($^\circ\text{C}$, TSM), b) anomalías térmicas ($^\circ\text{C}$, ATSM), c) salinidad (SSM) y d) anomalías halinas (ASSM); registradas en el trayecto de ida del Crucero de Evaluación Hidroacústica de la anchoveta, desde Callao a Puerto Pizarro del 16 al 19 de febrero, a bordo del BIC Humboldt. Climatología: 1991-2020 (Domínguez et al (2023)).

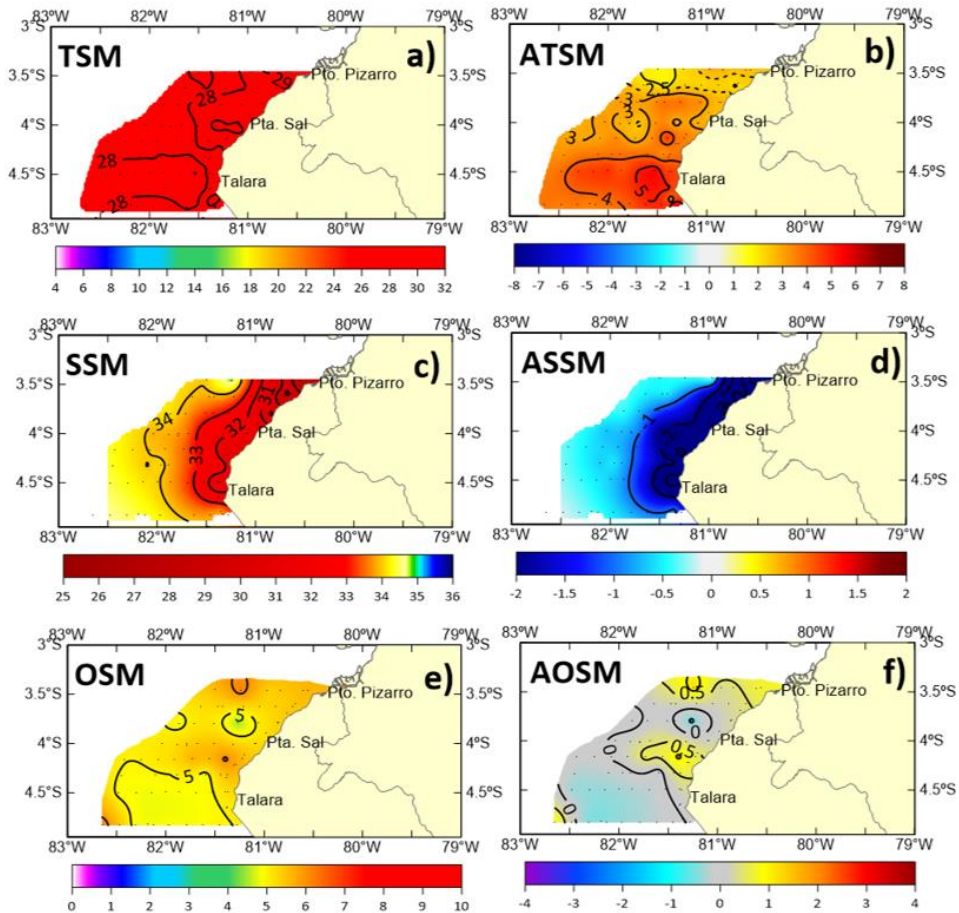


Figura 9. Distribución superficial de la: a) Temperatura ($^{\circ}\text{C}$, TSM), b) anomalías térmicas ($^{\circ}\text{C}$, ATSM), c) salinidad (SSM), d) anomalías halinas (ASSM), e) oxígeno (ml/L, OSM) y f) anomalías de oxígeno (ml/L, AOSM); registradas entre Puerto Pizarro y Talara durante el Crucero de Evaluación Hidroacústica de la anchoveta entre el 19 y 21 de febrero, a bordo del BIC Humboldt y el BIC Flores. Climatología: 1991-2020 (Domínguez et al (2023)).

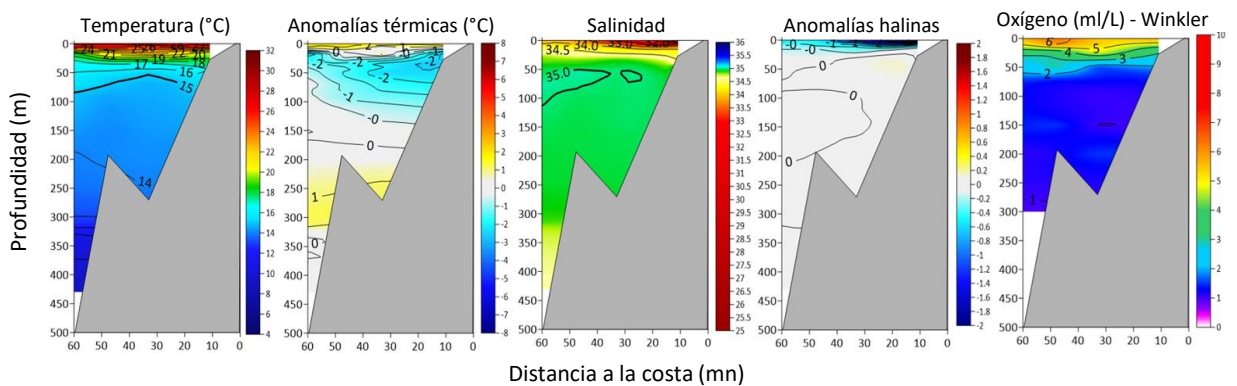


Figura 10. Estructura vertical de la: temperatura ($^{\circ}\text{C}$), anomalías térmicas ($^{\circ}\text{C}$), salinidad, anomalías halinas y oxígeno disuelto (ml/L); registradas en la sección oceanográfica frente a Puerto Pizarro, durante el Crucero de Seguimiento Larval entre el 19 y 20 de febrero de 2026, a bordo del BIC IMARPE V. Climatología: 1991-2020 (Domínguez et al (2023)).

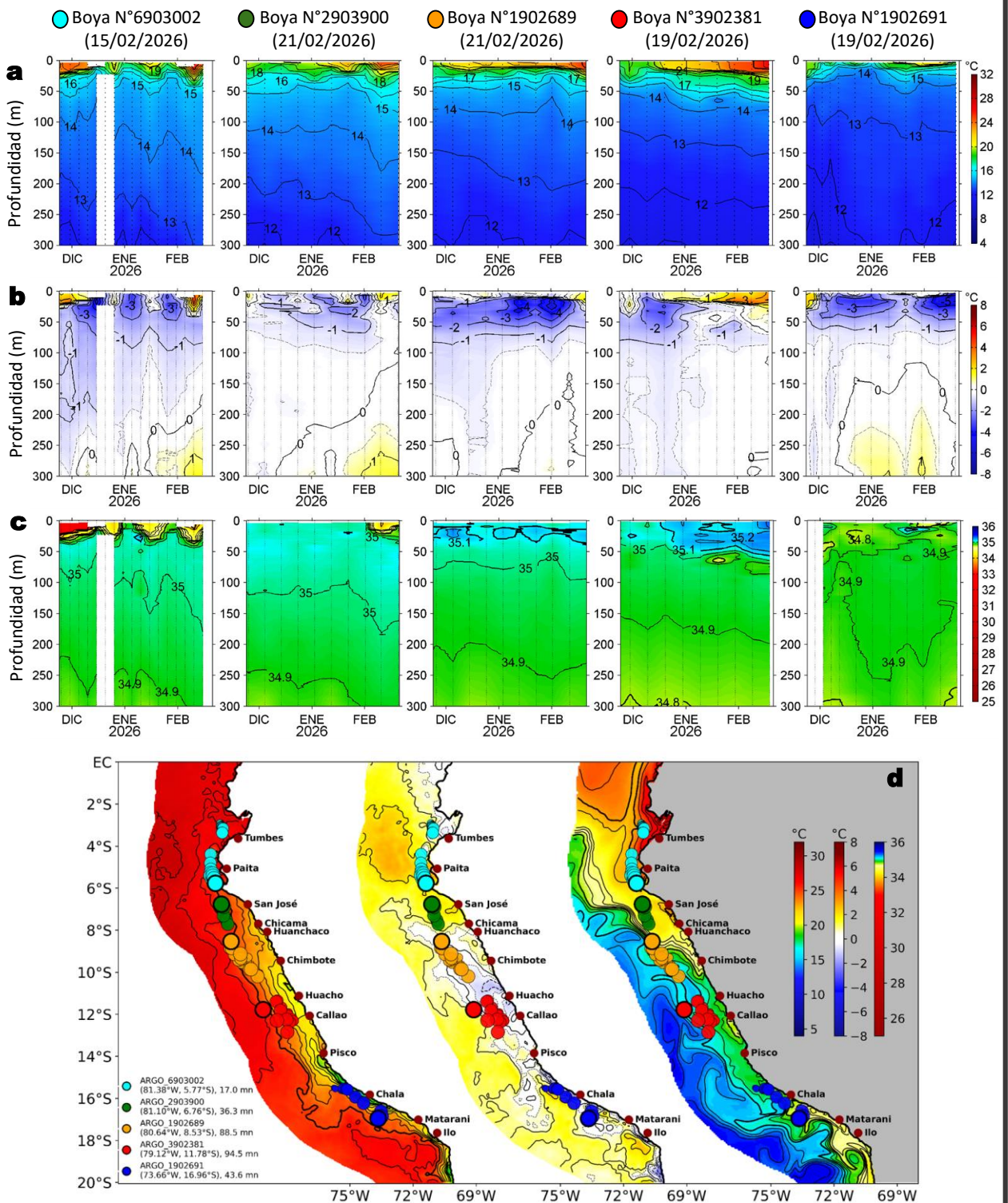


Figura 11. Diagrama Hovmöller de la: a) Temperatura del mar (°C), b) Anomalías térmicas (°C), c) Salinidad del mar registrados por los perfiladores ARGO frente a la costa peruana (d) durante los últimos 90 días. Los puntos en la columna de agua indican los días en que los perfiladores registraron información. Datos: ARGO. Climatología: 1991-2020 (Dominguez et al (2023)).

ASPECTOS BIOLÓGICO-PESQUEROS

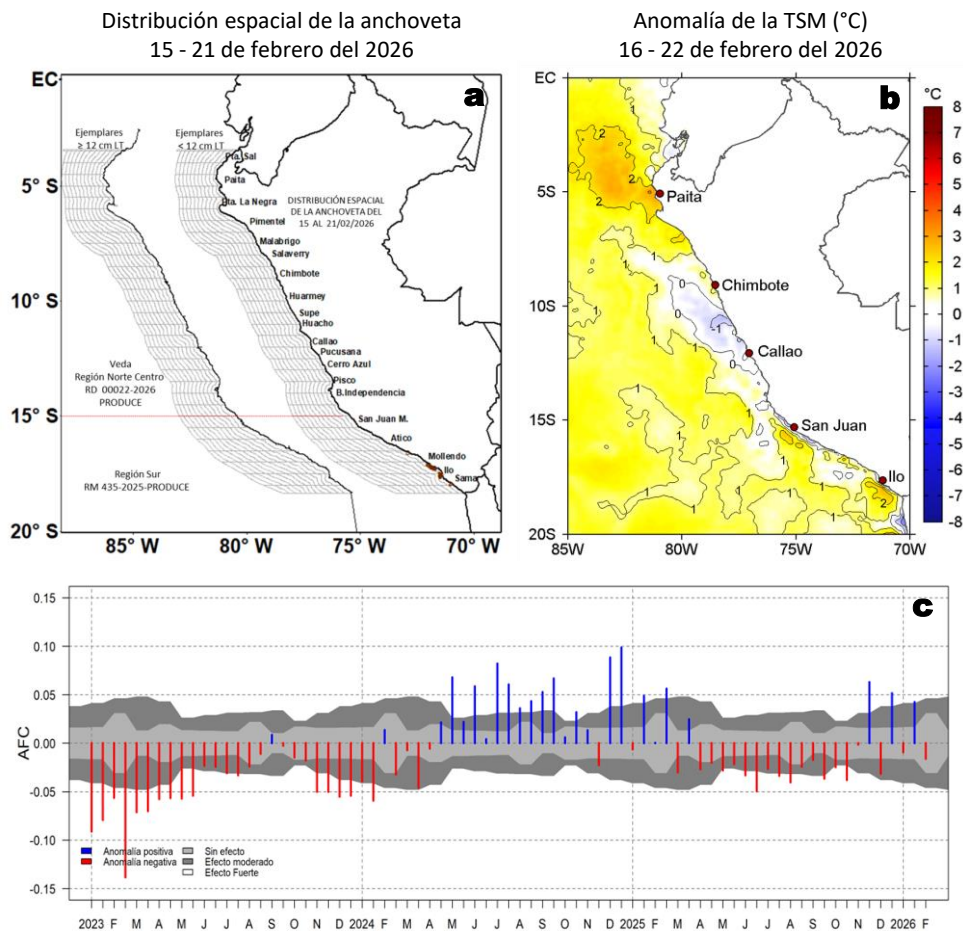


Figura 12. a) Distribución espacial de la anchoveta por región y su relación con b) las anomalías térmicas (°C) obtenidas del producto OSTIA-UKMO-L4-GLOB-v2.0; para la semana del 16 al 22 de febrero del 2026. c) Serie de tiempo de las Anomalías del índice del factor de condición (AFC) de la anchoveta peruana *Engraulis ringens* (Cuba et al., 2019) desde enero 2023 hasta febrero del 2026. Climatología: 1991-2020 (b).

PRONÓSTICO

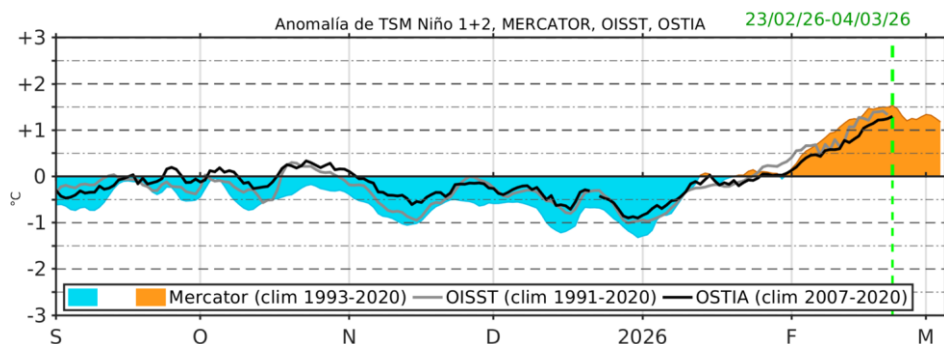


Figura 13. Series de tiempo de la anomalía de TSM diaria en la región Niño 1+2, obtenidas a partir del modelo MERCATOR (sombreado celeste y naranja), el producto OISST (línea gris) y el producto OSTIA (línea negra), a partir del promedio climatológico de 1993-2020, 1991-2020 y 2007-2020, respectivamente. La línea discontinua vertical de color verde indica la fecha de inicio del pronóstico de las anomalías de TSM según MERCATOR.



PERÚ

Ministerio de la Producción



PREMIO 2018 BUENAS PRÁCTICAS EN GESTIÓN PÚBLICA

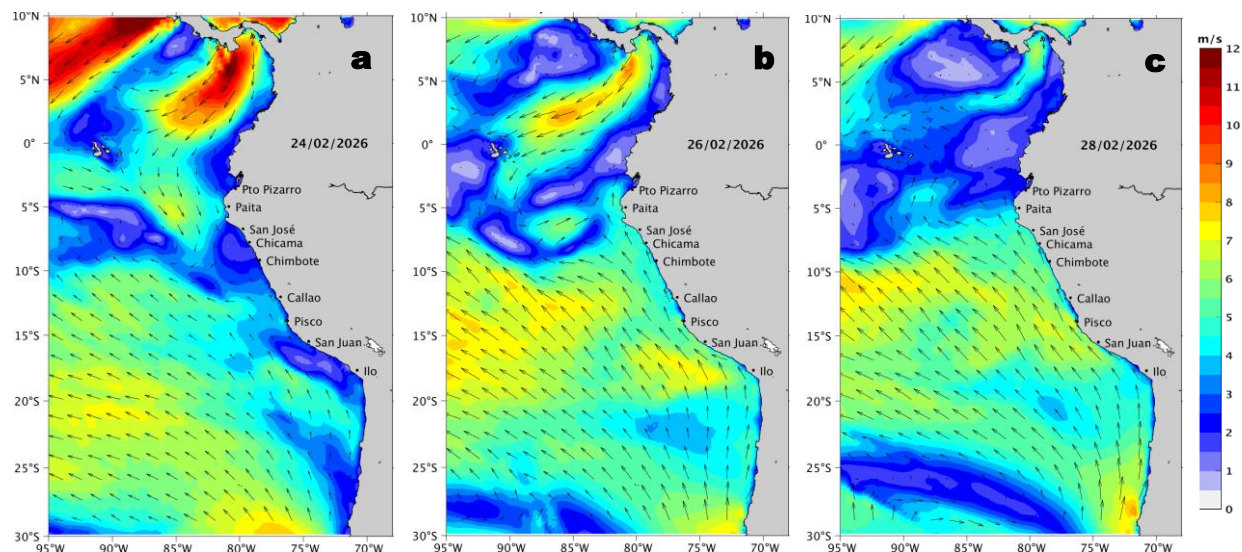


DGIOCC
Dirección General de Investigaciones en Oceanografía y Cambio Climático



DGIRP
Dirección General de Investigaciones de Recursos Pelágicos

Velocidad del Viento (VV, m/s) y Dirección del viento (DV, °)



Anomalia de la Velocidad del Viento (VV, m/s) y Dirección del viento (DV, °)

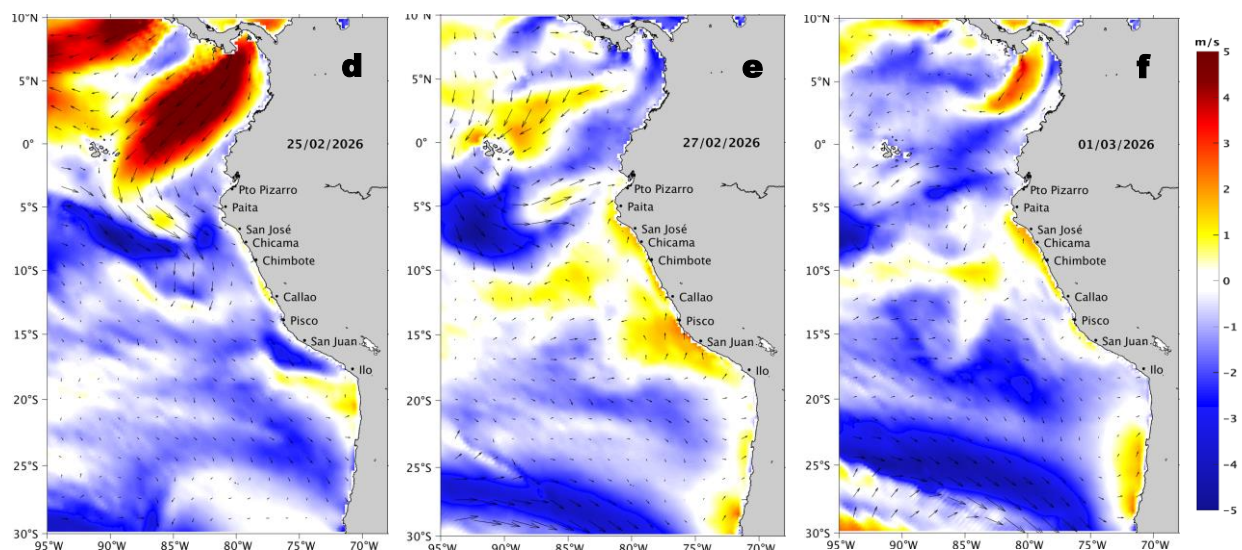


Figura 14. Distribución espacial del pronóstico de la velocidad del viento (VV, m/s) y dirección del viento (DV, °) para los días a) 24, b) 26 y c) 28 de febrero de 2026, así como para sus anomalías para los días a) 25, b) 27 de febrero y c) 01 de marzo de 2026, frente a la costa sudamericana entre Centroamérica y la costa norte de Chile. Fuente: Modelo Climate Forecast System (GFS) de la NOAA. Climatología: 2000-2020.

Escala de vientos: Vientos muy débiles (< 0,7 m/s), débiles (0,7 a 4,1 m/s), moderados (4,1 a 6,8 m/s), fuertes (6,8 a 10,4 m/s), muy fuertes (> 10,4 m/s); de acuerdo a Correa, Vásquez y Gutiérrez (2018).

Condiciones iniciales: 11 - 20 de febrero, 2026.

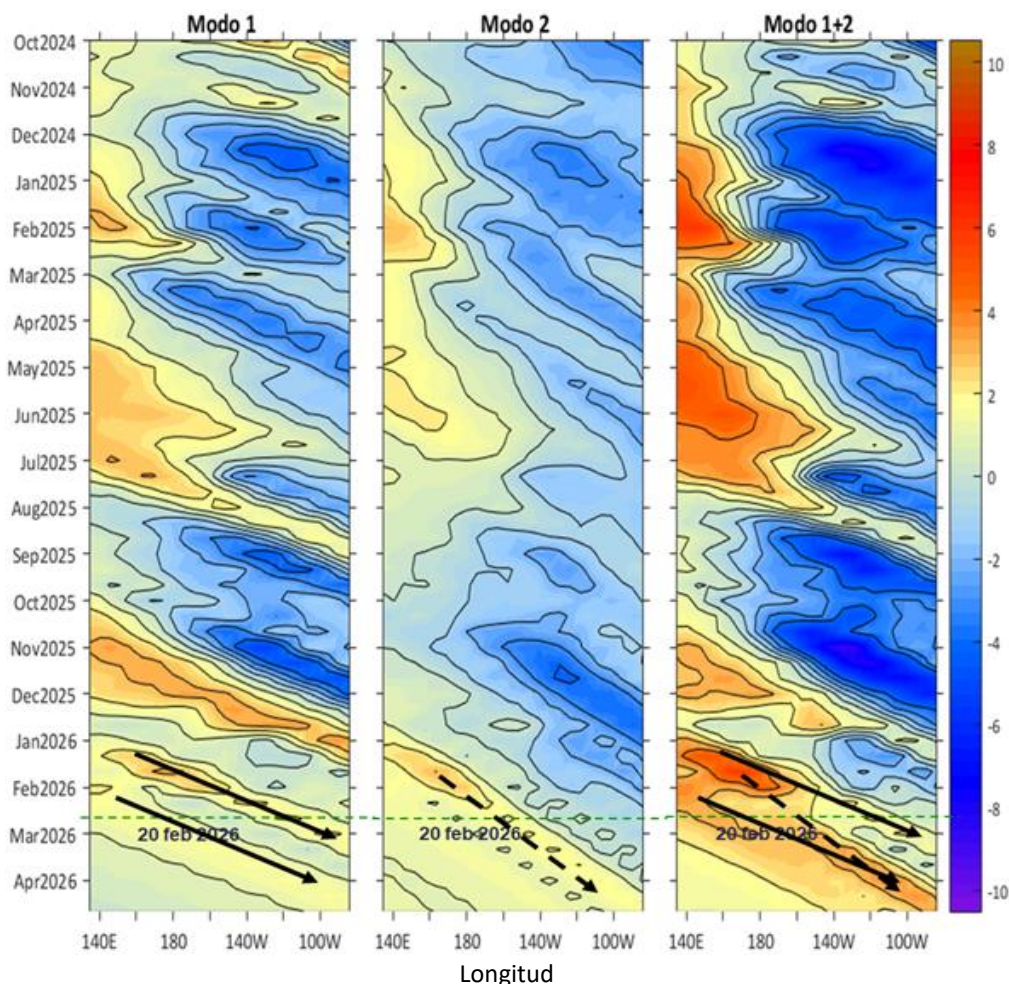


Figura 15. Diagramas Hovmöller longitud-tiempo de las ondas Kelvin ecuatoriales (OKE) en el océano Pacífico ecuatorial entre 130°E y 95°W y en la banda entre 1°N-1°S, forzado con anomalías del esfuerzo del viento (N/m^2) del NCEP (Kalnay et al., 1996) de acuerdo con la metodología de Illig et al. (2004) y Dewitte et al. (2002): a) Modo 1, b) Modo 2 y c) Modos 1+2. La línea discontinua horizontal de color verde indica la fecha del inicio del pronóstico con anomalías del esfuerzo del viento igual a cero. Los valores negativos corresponden a ondas Kelvin de afloramiento (frías) y están representadas por flechas discontinuas de color blanco. Los valores positivos corresponden a ondas Kelvin de hundimiento (cálidas) cuya propagación está representada por flechas de color negro sólido (modo 1) y discontinuo (modo 2). Datos del modelo: LMOECC/AFIOF/DGIOCC/IMARPE.

La última simulación del modelo de OK ecuatoriales implementado en el IMARPE, forzada con anomalías del esfuerzo del viento ecuatorial superficial obtenidas del NCEP al 20.02.2026, indica que las dos OK ecuatorial cálidas (modo 1 y modo 2), mencionadas en el BS-OBP N° 03-2026, habrían disminuido ligeramente su intensidad debido a las anomalías de vientos del este. No obstante, se mantiene la previsión de su arribo al extremo oriental del Pacífico ecuatorial: el modo 1 durante marzo, mientras que la de modo 2 lo haría entre abril y mayo de 2026. Por otro lado, la otra OK ecuatorial cálida (modo 1), mencionada en el BS-OBP N°06-2026, tiene previsto su arribo al extremo oriental del Pacífico ecuatorial en abril de 2026.

REFERENCIAS

Correa, D.; Vásquez, L. y D. Gutiérrez (2018). Propuesta de escala de vientos para la zona costera y oceánica frente al Perú. Taller interno del IMARPE, 24 de septiembre de 2018.

Cuba, A., Sánchez, J., Mori, J., & Chávez, G. (2019). Anomalías de los índices reproductivos fracción desovante e índice gonadosomático de anchoveta peruana *Engraulis ringens* (Jenyns, 1842) del stock norte-centro del Perú en relación a El Niño Costero 2017. *The Biologist*, 17(2).

Dewitte B., D. Gushchina, Y. du Penhoat and S. Lakeev, 2002: On the importance of subsurface variability for ENSO simulation and prediction with intermediate coupled models of the Tropical Pacific: A case study for the 1997-1998 El Niño. *Geoph. Res. Lett.*, vol. 29, no. 14, 1666, 10.1029/2001GL014452.

Donlon, C. J, M. Martin, J. Stark, J. Roberts-Jones, E. Fiedler, W. Wimmer, 2012. The Operational Sea Surface Temperature and Sea Ice Analysis (OSTIA) system. *Remote Sen. Env.*, 116, 140-158.

ENFEN, 2024. Definición operacional de los eventos El Niño Costero y La Niña Costera en el Perú. Nota Técnica. <https://enfen.imarpe.gob.pe/download/nota-tecnica-enfen-01-2024-definicion-operacional-de-los-eventos-el-nino-costero-y-la-nina-costera-en-el-peru/?wpdmdl=1905&ind=1733921744133>

Hobday, A. J., Alexander, L. V., Perkins, S. E., Smale, D. A., Straub, S. C., Oliver, E. C. J., ... Wernberg, T. (2016). A hierarchical approach to defining marine heatwaves. *Progress in Oceanography*, 141, 227–238. doi:10.1016/j.pocean.2015.12.014

Illig, S., B. Dewitte, N. Ayoub, Y. du Penhoat, G. Reverdin, P. De Mey, F. Bonjean and G. S. E. Lagerloef, 2004: Interannual Long Equatorial Waves in the Tropical Atlantic from a High Resolution OGCM Experiment in 1981-2000, *Journal of Geophysical Research*, 109, C02022, doi:10.1029/2003jc001771.

Kalnay, E., M. Kanamitsu, R. Kistler, W. Collins, D. Deaven, L. Gandin, M. Iredell, S. Saha, G. White, J. Woollen, Y. Zhu, A. Leetmaa, B. Reynolds, M. Chelliah, W. Ebisuzaki, W. Higgins, J. Janowiak, K. Mo, C. Ropelewski, J. Wang, R. Jenne, and D. Joseph, 1996: The NCEP/NCAR 40-Year Reanalysis Project. *Bull. Amer. Meteor. Soc.*, 77, 437–471.

Kobayashi S, Ota Y, Harada Y, Ebata A, Moriya M, Onoda H, Onogi K, Kamahori H, Kobayashi C, Endo H, Miyaoka K, Takahashi K (2015) The JRA-55 reanalysis: general specifications and basic characteristics. *J Meteor Soc Jpn* 93: 5–48.

Lellouche, J.-M., Le Galloudec, O., Drévilion, M., Régnier, C., Greiner, E., Garric, G., Ferry, N., Desportes, C., Testut, C.-E., Bricaud, C., Bourdallé-Badie, R., Tranchant, B., Benkiran, M., Drillet, Y., Daudin, A., and De Nicola, C.: Evaluation of global monitoring and forecasting systems at Mercator Océan, *Ocean Sci.*, 9, 57-81, 2013.

Perea, A., B. Buitrón, J. Mori, J. Sánchez, C. Roque, 2015. Anomalías de los Índices reproductivos de anchoveta *Engraulis ringens* en relación al ambiente. En: *Boletín Trimestral Oceanográfico*, Volumen 1, Números 1-4, pp.: 27-28.

Pietri, A., Colas, F., Mogollon, R., J. Tam & D. Gutierrez. Marine heatwaves in the Humboldt current system: from 5-day localized warming to year-long El Niños. *Sci Rep* 11, 21172 (2021). <https://doi.org/10.1038/s41598-021-00340-4>

Quispe Ccallauri, C, J. Tam, H. Demarcq, C. Romero, D. Espinoza, A. Chamorro, J. Ramos, R. Oliveros, 2016. El Índice Térmico Costero Peruano. En: *Boletín Trimestral Oceanográfico*, Volumen 2, Número 1, pp: 7-11.

Quispe-Ccalluari C, Tam J, Arellano C, Chamorro A, Espinoza-Morriberón D, Romero C, Ramos J. 2015. Desarrollo y aplicación de índices y simulaciones para la vigilancia y el pronóstico a mediano plazo del impacto del ENOS frente a la costa peruana. *Inf. Inst. Mar Perú*, Vol. 44(1):28-34. <https://biblioimarpe.imarpe.gob.pe/handle/20.500.12958/3149>

Quispe, J. y L. Vásquez, 2015. Índice “LABCOS” para la caracterización de evento El Niño y La Niña frente a la costa del Perú, 1976-2015. En: *Boletín Trimestral Oceanográfico*, Volumen 1, Números 1-4, pp.: 14-18.



PERÚ

Ministerio
de la Producción



PREMIO 2018
BUENAS PRÁCTICAS
EN GESTIÓN PÚBLICA



RECONOCIMIENTOS

The Group for High Resolution Sea Surface Temperature (GHR SST) Multi-scale Ultra-high Resolution (MUR) Level 4 OSTIA Global Foundation Sea Surface Temperature Analysis (GDS version 2). Ver. 2.0 data were obtained from the NASA EOSDIS Physical Oceanography Distributed Active Archive Center (PO.DAAC) at the Jet Propulsion Laboratory, Pasadena, CA (<http://dx.doi.org/10.5067/GHGMR-4FJ01>).

The Ssalto/Duacs altimeter products were produced and distributed by the Copernicus Marine and Environment Monitoring Service (CMEMS) (<https://data.marine.copernicus.eu/products>).

The products from the MERCATOR OCEAN system distributed through the Marine Copernicus Service (<https://data.marine.copernicus.eu/products>).

The Pacific Islands Ocean Observing System (PacIOOS) is funded through the National Oceanic and Atmospheric Administration (NOAA) as a Regional Association within the U.S. Integrated Ocean Observing System (IOOS). PacIOOS is coordinated by the University of Hawaii School of Ocean and Earth Science and Technology (SOEST).

Las anomalías del índice de factor de condición fueron determinadas a partir de información brindada por el Laboratorio de Biología Reproductiva de la sede central de IMARPE.

Este boletín es una acción del Programa Presupuesto Por Resultados - PPR 068 El Niño "Reducción de Vulnerabilidad y Atención de Emergencias por Desastres" y su producto "Entidades Informadas en forma permanente y con pronósticos frente al Fenómeno El Niño" del IMARPE.

EQUIPO CIENTÍFICO

Dirección General de Investigaciones en Oceanografía y Cambio climático (DGIOCC):

Katherine Vásquez, Dimitri Gutierrez, Daniel Camarena, Tony Anculle, José Vílchez, Carlos Quispe, Dante Espinoza y Gustavo Orihuela.

Dirección General de Investigaciones de Recursos pelágicos (DGIRP):

Javier Sánchez, Dany Ulloa, Gabriela Cazorla y Cecilia Peña.

El Boletín Semanal Oceanográfico y Biológico-Pesquero (BS-OBP) presenta la evolución de variables físicas en el océano y la atmósfera, de la estructura físico-química del océano frente a la costa norte-centro del Perú en un contexto temporal de corto plazo y en un marco local-regional. El objetivo del BSOBP es comprender los efectos de la variabilidad de macroescala y regional de corto plazo en las condiciones oceanográficas y biológico-pesqueras del mar peruano. Esta información se sustenta en las redes observacionales in situ que administra el IMARPE y que se ha fortalecido en el marco del Programa Presupuesto Por Resultados - PPR 068 El Niño "Reducción de Vulnerabilidad y Atención de Emergencias por Desastres" y su producto "Entidades Informadas en forma permanente y con pronósticos frente al Fenómeno El Niño" del Estado Peruano. Asimismo, esta información local se complementa con un repertorio de productos satelitales y con mediciones directas de equipamiento de programas y proyectos internacionales con el fin de lograr un análisis integrado del estado del océano.

El BS-OBP, asimismo, pretende informar de forma oportuna y permanente sobre el estado del océano a diferentes grupos de interés y sociedad en general y contribuir a mejorar el conocimiento del mar peruano y coadyuvar a la gestión del riesgo de desastres del Estado Peruano.

IMARPE (2026). Boletín Semanal Oceanográfico y Biológico-Pesquero N°08-2026, 16 - 22 de febrero de 2026, Callao, Instituto del Mar del Perú. <https://siofen.imarpe.gob.pe/boletines-e-informes/BS-OBP>

Suscripciones: Complete [este formulario](#) o escriba al correo electrónico siofen@imarpe.gob.pe.

Consultas:

Servicio de Información Oceanográfica del Fenómeno El Niño, SIOFEN

Laboratorio de Hidrofísica Marina/AFIOF

Dirección General de Investigaciones Oceanográficas y Cambio Climático/Instituto del Mar del Perú

Esquina Gamarra y General Valle S/N, Chucuito, Callao - Perú. Teléfono: (51 1) 904 0137 (Extensión 824).

Foto en la portada: Mar peruano (©IMARPE)

© 2026 Instituto del Mar del Perú



IMARPE
INSTITUTO DEL MAR DEL PERÚ

SIOFEN SERVICIO DE INFORMACIÓN OCEANOGRÁFICA DEL FENÓMENO EL NIÑO



PERÚ

Ministerio
de la Producción



PREMIO 2018
BUENAS PRÁCTICAS
EN GESTIÓN PÚBLICA

